

## 纳米 SrTiO<sub>3</sub> 对高铁酸盐电化学性能影响研究

王宏丽<sup>1</sup> 赖琼钰<sup>\*1</sup> 郝艳静<sup>1</sup> 陈元端<sup>1</sup> 吉晓洋<sup>2</sup>

(<sup>1</sup> 四川大学化学学院, 成都 610064)

(<sup>2</sup> 四川大学分析测试中心, 成都 610064)

关键词: K<sub>2</sub>FeO<sub>4</sub>; BaFeO<sub>4</sub>; SrTiO<sub>3</sub>; 电化学性能

中图分类号: O614.23; O614.41<sup>+1</sup>; O614.81<sup>+1</sup>

文献标识码: A

文章编号: 1001-4861(2006)06-1108-05

### Nanometer SrTiO<sub>3</sub> Effect on Electrochemical Performance of Ferrate Electrode

WANG Hong-Li<sup>1</sup> LAI Qiong-Yu<sup>\*1</sup> HAO Yan-Jing<sup>1</sup> CHEN Yuan-Duan<sup>1</sup> JI Xiao-Yang<sup>2</sup>

(<sup>1</sup> College of Chemistry, Sichuan University, Chengdu 610064)

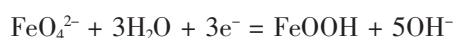
(<sup>2</sup> Analytical and Testing Center of Sichuan University, Chengdu 610064)

**Abstract:** Two ferrates, K<sub>2</sub>FeO<sub>4</sub> and BaFeO<sub>4</sub>, had been prepared and characterized by XRD, IR and SEM. The electrochemical tests of the samples were carried out in the voltage range of 0.8~2.0 V and current density of 0.5~3.0 mA·cm<sup>-2</sup>. The results indicated that performance of Zn-BaFeO<sub>4</sub> battery was superior to that of Zn-MnO<sub>2</sub> and Zn-K<sub>2</sub>FeO<sub>4</sub> batteries. Nanometer SrTiO<sub>3</sub> prepared by Sol-gel method with different ratio was added to the BaFeO<sub>4</sub> cathode in order to improve the discharge performance. The discharge capacity of the BaFeO<sub>4</sub> cathode was increased from 224 mAh·g<sup>-1</sup> to 246 mAh·g<sup>-1</sup> by addition of 5% nanometer SrTiO<sub>3</sub>. The reason of enhancing BaFeO<sub>4</sub> electrochemical performance was discussed.

**Key words:** K<sub>2</sub>FeO<sub>4</sub>; BaFeO<sub>4</sub>; SrTiO<sub>3</sub>; electrochemical performance

## 0 引言

传统的碱性锌锰电池采用 MnO<sub>2</sub> 作为电池的正极活性物质, 虽然其生产技术成熟、性能稳定, 但存在放电容量较小、活性物质利用率较低等不足, 故寻求高性能、无污染的电极材料成为一个新的研究热点。1999 年以色列科学家 Licht<sup>[1]</sup> 等发现 Fe(VI) 化合物能取代碱性 Zn-MnO<sub>2</sub> 中的 MnO<sub>2</sub> 作为电池的正极材料, 阐明了 Fe(VI) 在参与放电反应时可以得到 3 个电子被还原为 Fe(III), 半反应为:



而传统的 MnO<sub>2</sub> 电池是单个电子的还原过程, 因此高铁酸盐作为电池正极材料具有较高的理论比容量、平坦的放电平台, 同时具有原材料丰富和最终放电产物 Fe(OH)<sub>3</sub> 对环境友好等优势, 所以用高铁酸盐作为正极材料的电池是一种性能理想且有广阔发展前景的新型高能电池。近年来关于高铁酸盐电池及其电极材料 Fe(VI) 制备的研究引起了广泛的关注<sup>[2-7]</sup>。目前试用于超铁电池的高铁酸盐电极材料主要有 K<sub>2</sub>FeO<sub>4</sub>、BaFeO<sub>4</sub>, 在其中添加一些固体盐类以提高其放电比容量已有一些报道<sup>[8-12]</sup>。文献<sup>[13]</sup>报道在碱性锌锰电池 MnO<sub>2</sub> 正极中添加纳米 SrTiO<sub>3</sub> 可使电

收稿日期: 2005-12-26。收修改稿日期: 2006-04-07。

四川省基础应用研究基金资助项目(No.川教科 9902)。

\*通讯联系人。E-mail: laiqv5@sina.com

第一作者: 王宏丽, 女, 30 岁, 硕士研究生; 研究方向: 无机非金属材料。

池的电化学性能得到改善。本工作通过化学氧化法制备出单相 K<sub>2</sub>FeO<sub>4</sub>、BaFeO<sub>4</sub>, 并进行电化学测试, 对实际放电性能相对优良的 BaFeO<sub>4</sub> 正极材料添加纳米 SrTiO<sub>3</sub> 进行放电性能研究, 在实验中得到了较好的结果, 这方面的工作目前尚未见报道。

## 1 实验部分

### 1.1 高铁酸盐的制备

K<sub>2</sub>FeO<sub>4</sub> 与 BaFeO<sub>4</sub> 按照文献报道的方法制备<sup>[14]</sup>。

### 1.2 SrTiO<sub>3</sub> 的制备

采用溶胶-凝胶法将 Sr(CH<sub>3</sub>COO)<sub>2</sub> 和 H<sub>2</sub>O 以物质的量比为 1:10 配成溶液 A, 另将等物质的量 Ti(OC<sub>4</sub>H<sub>9</sub>)<sub>4</sub> 溶解在 30 mL 无水乙醇中为溶液 B, B 逐滴加入到 A 中, 搅拌 3 h, 待所得的凝胶老化后, 在马弗炉中 850 °C 煅烧 2 h, 得到白色粉末。

### 1.3 表征

采用日本理学电机公司 D/max-rA 型旋转阳极 X 光衍射仪对物品进行物相和结构分析 (管压: 40 kV, 管流: 100 mA, Cu K $\alpha$  射线,  $\lambda=0.15418$  nm, 扫描范围: 10°~70°); 采用日立公司 S-450 型扫描电子显微镜观察分析样品颗粒的大小和形貌, 电压 5 kV, 电流 30 mA; 采用 Perkin Elmer Spectrum one FTIR 型仪器测定红外光谱, KBr 压片。

### 1.4 电化学性能测试

将高铁酸盐(K<sub>2</sub>FeO<sub>4</sub>、BaFeO<sub>4</sub> + SrTiO<sub>3</sub>)、乙炔黑、聚四氟乙烯乳液按质量比 80:15:5 进行混合, 以镍网为集流体进行涂片, 负极采用商业电池的锌片, 电解液为 14 mol·L<sup>-1</sup> 的 KOH 溶液, 进行电池组装, 在 LandCT2001A 测试系统中室温下进行恒流放电性能测试, 电压为 0.8~2.0 V、电流密度为 0.5~3.0 mA·cm<sup>-2</sup>。分别采用质量分数为 3%、5%、10% SrTiO<sub>3</sub> 与 BaFeO<sub>4</sub> 混合制备电极片进行电化学性能测试。

## 2 结果与讨论

### 2.1 XRD 分析

K<sub>2</sub>FeO<sub>4</sub>、BaFeO<sub>4</sub> 的 XRD 如图 1 所示。图 1 中 K<sub>2</sub>FeO<sub>4</sub> 各衍射峰位置与标准卡片(70-1523)一致。经计算其晶胞参数为  $a=0.76955$  nm,  $b=0.58424$  nm,  $c=1.0300$  nm; BaFeO<sub>4</sub> 的 XRD 图与文献一致<sup>[15,16]</sup>, 属于正交晶系, 正四面体结构。

图 2 为 SrTiO<sub>3</sub> 的 XRD 图, 与标准卡片(89-4934)相一致。根据 Scherrer 公式可计算 SrTiO<sub>3</sub> 的粒径约为 38 nm(未扣除仪器宽化因素影响)。

由此可见所制备的 3 种样品均为单相。

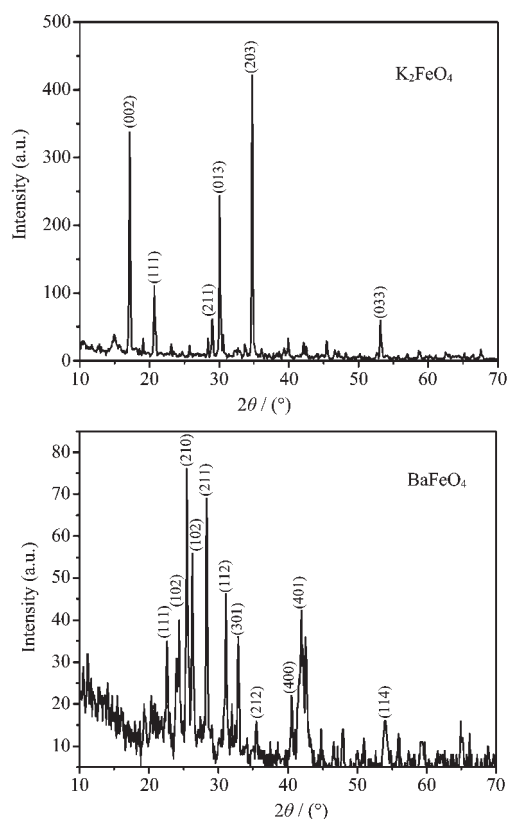


图 1 高铁酸盐样品的 XRD 图

Fig.1 XRD patterns of the samples

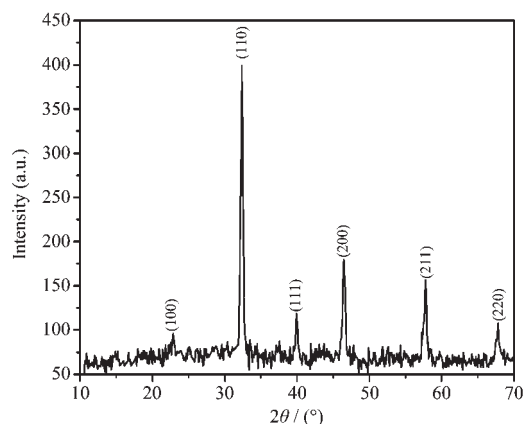


图 2 SrTiO<sub>3</sub> 的 XRD 图

Fig.2 XRD pattern of SrTiO<sub>3</sub>

### 2.2 红外光谱分析

K<sub>2</sub>FeO<sub>4</sub>、BaFeO<sub>4</sub> 的 IR 谱图如图 3 所示。

六价铁离子具有四面体结构, 属 T<sub>d</sub> 点群, 有 2 个三重简并振动。K<sub>2</sub>FeO<sub>4</sub> 的阴离子对称性不及 T<sub>d</sub>, 而近似 C<sub>3</sub> 点群, 其 IR 谱偏离 T<sub>d</sub> 较严重, 在图 3a 中 807 cm<sup>-1</sup> 出现 1 个特征单峰<sup>[17]</sup>, BaFeO<sub>4</sub> 则偏离 T<sub>d</sub> 更严重, 基频谱带没有出现三重简并而是 3 个分开的

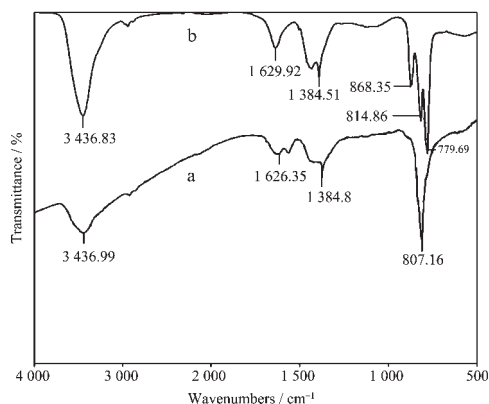
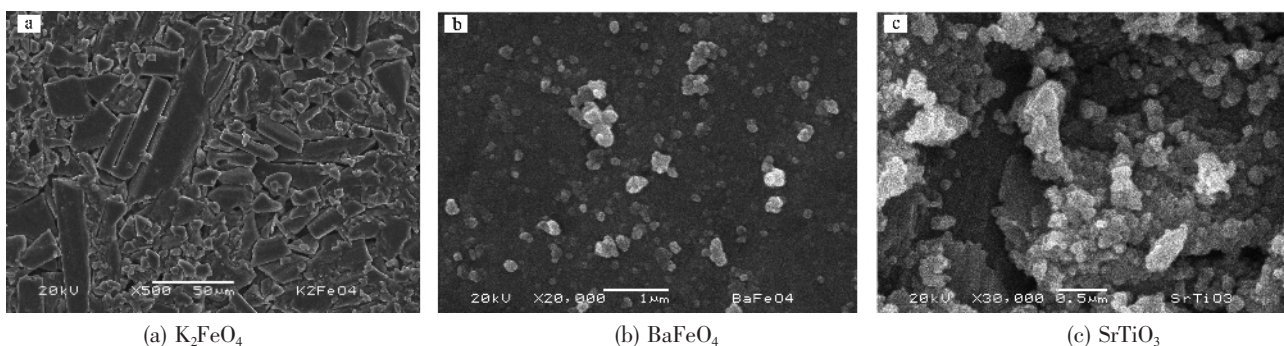


图3 样品的 IR 谱图

Fig.3 IR spectra of  $K_2FeO_4$  (a) and  $BaFeO_4$  (b)



(a)  $K_2FeO_4$

(b)  $BaFeO_4$

(c)  $SrTiO_3$

图4 样品的 SEM 照片

Fig.4 SEM photographs of the samples

### 2.4 电化学性能测试

图5为 $K_2FeO_4$ 、 $BaFeO_4$ 、 $MnO_2$ 电极在 $0.5\text{ mA}\cdot\text{cm}^{-2}$ 电流密度下的放电曲线。由此图可以看出,碱性 $K_2FeO_4$ 、 $BaFeO_4$ 模拟电池的放电平台比碱性 $MnO_2$ 模拟电池的平台更加高且更加平坦,开路电压分别为 $1.61\text{ V}$ 、 $1.72\text{ V}$ ( $MnO_2$ 为 $1.50\text{ V}$ ); $K_2FeO_4$ 和 $BaFeO_4$ 电极的放电比容量分别为 $204\text{ mAh}\cdot\text{g}^{-1}$ 、 $224\text{ mAh}\cdot\text{g}^{-1}$ 。

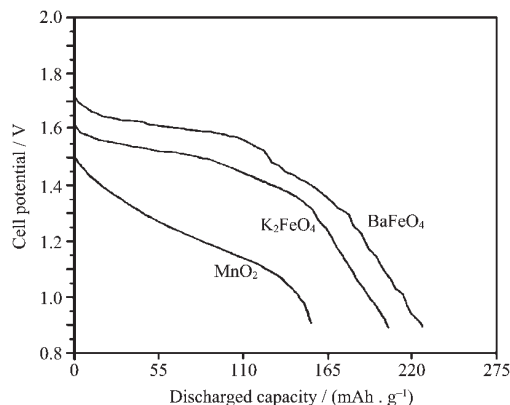


图5 样品恒流放电曲线

Fig.5 Discharge curves of materials in  $0.8\sim 2.0\text{ V}$ ,  $0.5\text{ mA}\cdot\text{cm}^{-2}$

峰,即图3b中 $868\text{ cm}^{-1}$ 、 $814\text{ cm}^{-1}$ 和 $779\text{ cm}^{-1}$ 位置的3个单峰,与文献<sup>[11]</sup>结果基本一致。在图a、b中 $3436\text{ cm}^{-1}$ 和 $1626\text{ cm}^{-1}$ 处吸收峰分别对应于 $H_2O$ 的伸缩振动和弯曲振动; $1384\text{ cm}^{-1}$ 处的吸收峰应归属为C-O伸缩振动峰,这是因为是在测试时,吸收空气中 $H_2O$ 和 $CO_2$ 所引起的。

### 2.3 SEM 分析

图4中a为 $K_2FeO_4$  SEM照片,由此可见晶体呈长而薄的片状,表面基本光滑。

图4b为 $BaFeO_4$  SEM照片,由此可见样品为小颗粒晶体,表面基本光滑,大小约为 $50\sim 100\text{ nm}$ 。图4c为 $SrTiO_3$  SEM照片,其平均粒度约为 $50\text{ nm}$ 。

$g^{-1}$ ,而 $MnO_2$ 电极的放电比容量为 $154\text{ mAh}\cdot\text{g}^{-1}$ ,分别提高了 $32.5\%$ 和 $45.5\%$ 。可见 $BaFeO_4$ 电极的放电性能大大优于 $MnO_2$ 电极,也优于 $K_2FeO_4$ 电极。从电极的放电机理来看,高铁酸盐是三电子放电过程而 $MnO_2$ 是单电子放电过程,因而高铁酸盐有着比 $MnO_2$ 更高的理论比容量。 $BaFeO_4$ 相对于 $K_2FeO_4$ 在 $14\text{ mol}\cdot\text{L}^{-1}$ 的 $KOH$ 溶液中溶解性低,通过SEM照片可以看到 $BaFeO_4$ 的粒径远远小于 $K_2FeO_4$ ,活性物质颗粒越小对提高活性物质的放电效率越有利,所以 $BaFeO_4$ 的电化学性能优于 $K_2FeO_4$ 。

图6为以 $3\%\sim 10\%$ 纳米 $SrTiO_3$ 为添加剂制备碱性 $Zn/BaFeO_4$ 模拟电池,在 $0.8\sim 2.0\text{ V}$ 、 $0.5\text{ mA}\cdot\text{cm}^{-2}$ 电流密度下的放电曲线,从图中可以看出在 $3\%$ 到 $10\%$ 的范围内随 $SrTiO_3$ 量增加 $BaFeO_4$ 放电容量增加,开路电压增高约 $20\text{ mV}$ ,放电平台比单纯 $BaFeO_4$ 高约 $60\text{ mV}$ 。添加 $5\%$ 的 $SrTiO_3$ 后,放电容量更大、放电平台更平坦,当添加 $10\%$   $SrTiO_3$ 时, $BaFeO_4$ 放电容量虽然有所增加,但平台放电容量仅为理论比容量的 $55\%$ ,平台放电效率明显降低。由此可见, $SrTiO_3$ 合适的添加量为 $5\%$ 。

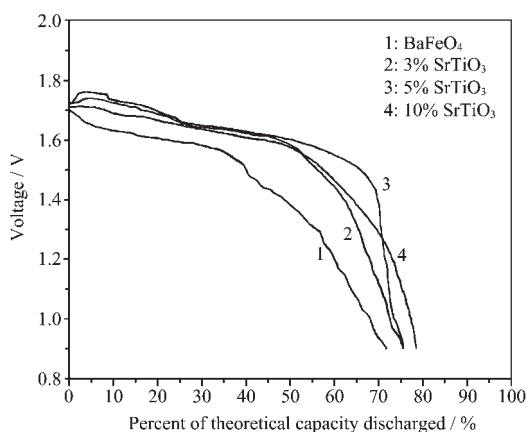


图 6 0.5 mA·cm<sup>-2</sup> 下 BaFeO<sub>4</sub> 添加不同比例的 SrTiO<sub>3</sub> 放电曲线

Fig.6 Discharge curves of BaFeO<sub>4</sub> batteries with the addition of different SrTiO<sub>3</sub> in 0.5 mA·cm<sup>-2</sup>

5% SrTiO<sub>3</sub>/BaFeO<sub>4</sub> 和 BaFeO<sub>4</sub> 模拟电池分别在 0.5 mA·cm<sup>-2</sup> 和 3.0 mA·cm<sup>-2</sup> 电流密度下的恒流放电曲线如图 7 所示, 通过对比可以清楚地看到无论是在小电流密度 0.5 mA·cm<sup>-2</sup> 还是在较大电流密度 3.0 mA·cm<sup>-2</sup> 下添加 5% 的纳米 SrTiO<sub>3</sub> 电池的放电平台都更加平坦, 说明添加纳米 SrTiO<sub>3</sub> 后的 BaFeO<sub>4</sub> 电池放电性能明显优于单纯的 BaFeO<sub>4</sub> 电池。

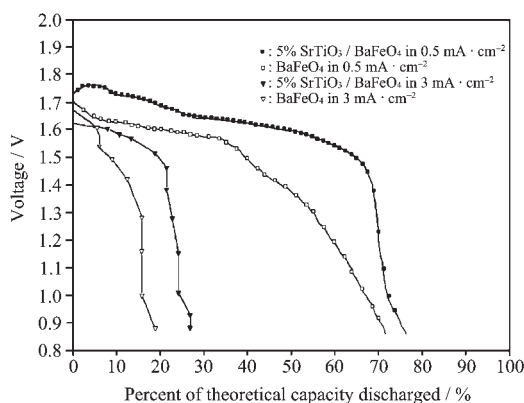


图 7 不同电流密度下样品的恒流放电曲线

Fig.7 Discharge curves of different current density

由图 6 及图 7 电化学测试结果可知, 在 BaFeO<sub>4</sub> 电极中均匀分散 5% 纳米 SrTiO<sub>3</sub> 后致使 BaFeO<sub>4</sub> 放电性能增强, 其原因如下分析:

BaFeO<sub>4</sub> 作为正极活性物质在放电过程中发生如下反应:

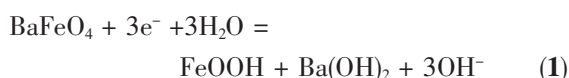


图 8 为 SrTiO<sub>3</sub>/BaFeO<sub>4</sub> 放电产物的 XRD 图, 与图 2 SrTiO<sub>3</sub> 放电前 XRD 相比较, 图 8 中 SrTiO<sub>3</sub> 立方

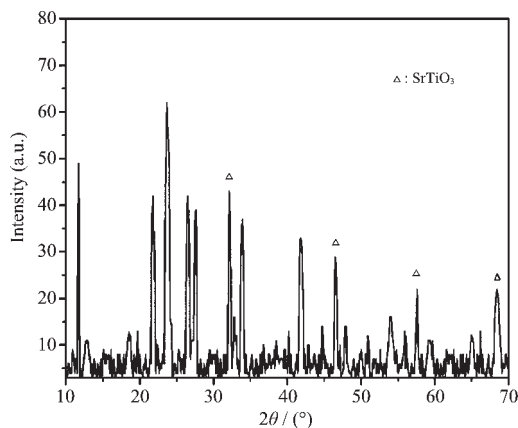


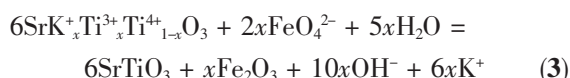
图 8 放电产物的 XRD 图

Fig.8 XRD pattern of discharged product

晶体的几个主要衍射峰(110)(200)(211)(220)仍存在, 由此可知 SrTiO<sub>3</sub> 放电前后结构变化较小。放电过程中 SrTiO<sub>3</sub> 在 KOH 电解质溶液存在以下可能首先生成固溶体 SrK<sub>x</sub>Ti<sup>3+</sup>Ti<sup>4+</sup><sub>1-x</sub>O<sub>3</sub>, 其反应如下:



生成的固溶体 SrK<sub>x</sub>Ti<sup>3+</sup>Ti<sup>4+</sup><sub>1-x</sub>O<sub>3</sub> 与高铁酸根发生如下反应:



由方程式(2)、(3)可知 SrTiO<sub>3</sub> 在 BaFeO<sub>4</sub> 的放电过程中起到了催化剂的作用, 在此具有电催化性能。

另外, 因为 SrTiO<sub>3</sub> 在放电过程中生成 SrK<sub>x</sub>Ti<sup>3+</sup>Ti<sup>4+</sup><sub>1-x</sub>O<sub>3</sub> 固溶体, 其中 Ti<sup>3+</sup>(TiO<sup>+</sup>)、Ti<sup>4+</sup>(TiO<sup>2+</sup>) 在同一体系, 电子在 TiO<sup>+</sup> 与 TiO<sup>2+</sup> 之间转换很容易, 这对增加电子电导率有利, 其过程可用如下方程式表示:



综上分析可知, 由于 SrTiO<sub>3</sub> 的催化作用以及具有使电子电导率增加的功能, 故致使 BaFeO<sub>4</sub> 的放电性能得以提高。

当 SrTiO<sub>3</sub> 增加到 10% 时, BaFeO<sub>4</sub> 放电性能有所下降, 这可能是因为随着 SrTiO<sub>3</sub> 含量增加会影响 BaFeO<sub>4</sub> 颗粒与导电剂碳颗粒之间相互接触之故。有关机理还需要进一步深入地研究。

### 3 结 论

(1) 采用氧化还原法制备出单相 K<sub>2</sub>FeO<sub>4</sub> 与单相 BaFeO<sub>4</sub>, 采用溶胶凝胶法制备出约 50 nm 的单相 SrTiO<sub>3</sub>。

(2) 采用 KOH 电解质溶液, 在电压范围为 0.8~2.0 V、电流密度为 0.5 mA·cm<sup>-2</sup> 条件下恒流放电, 测

试结果表明高铁酸盐的放电性能明显优于  $\text{MnO}_2$ ,  $\text{BaFeO}_4$  优于  $\text{K}_2\text{FeO}_4$ 。

(3) 添加纳米  $\text{SrTiO}_3$  后  $\text{BaFeO}_4$  模拟电池性能较未添加时有所提高, 其中添加 5%  $\text{SrTiO}_3$  的  $\text{SrTiO}_3/\text{BaFeO}_4$  模拟电池在  $0.5 \text{ mA} \cdot \text{cm}^{-2}$  条件下恒流放电时具有较好的放电性能。

#### 参考文献:

- [1] Licht S, Wang B H, Ghosh S. *Science*, **1999**,**258**:1039~1042
- [2] Walz K A, Suyama A N, Suyama W E, et al. *J. Power Sources*, **2004**,**134**:318~323
- [3] Li C, Li X Z, Graham N. *Chemosphere*, **2005**,**61**:537~543
- [4] Licht S, Vered R T, Halperin L. *J. Electrochem. Soc.*, **2004**, **151**(1):A31~A39
- [5] SUN Yan-Zi(孙艳芝), PAN Jun-Qin(潘军青), WAN Ping-Yu(万平玉), et al. *Dianyuan Jishu(Chinese J. Power Sources)*, **2003**,**27**(6):518~521
- [6] Licht S, Naschitz V, Wang B H. *J. Power Sources*, **2002**,**109**: 67~70
- [7] Licht S, Wang B H, Ghosh S, et al. *J. Electrochem. Commun.*, **1999**,**1**:522~526
- [8] Licht S, Wang B H, Ghosh S, et al. *J. Electrochem. Commun.*, **2000**,**2**:535~540
- [9] Licht S, Naschitz V, Liu B, et al. *J. Power Sources*, **2001**,**99**: 7~14
- [10] Licht S, Ghosh S. *J. Power Sources*, **2002**,**109**:465~468
- [11] Licht S, Naschitz V, Rozen D, et al. *J. Electrochem. Soc.*, **2004**,**151**(8):A1147~A1151
- [12] Licht S, Wang B H, Xu G, et al. *J. Electrochem. Commun.*, **1999**,**1**:527~531
- [13] Nardi J C, Swierbut W M. *US 5895734*, 20 Apr. **1999**.
- [14] Audette R J, Quail J W. *Inorganic Chemistry*, **1972**,**11**(8): 1094~1098
- [15] Licht S, Naschitz V, Halperin L, et al. *J. Power Sources*, **2001**,**101**:167~176
- [16] Ni X M, Ji M R, Yang Z P, et al. *J. Crystal Growth*, **2004**, **261**:82~86
- [17] FENG Chang-Chun(冯长春), ZHOU Zhi-Hao(周志浩), JIANG Feng-Sheng(蒋凤生), et al. *Huaxue Shijie(Chemical World)*, **1991**,**3**:102~106